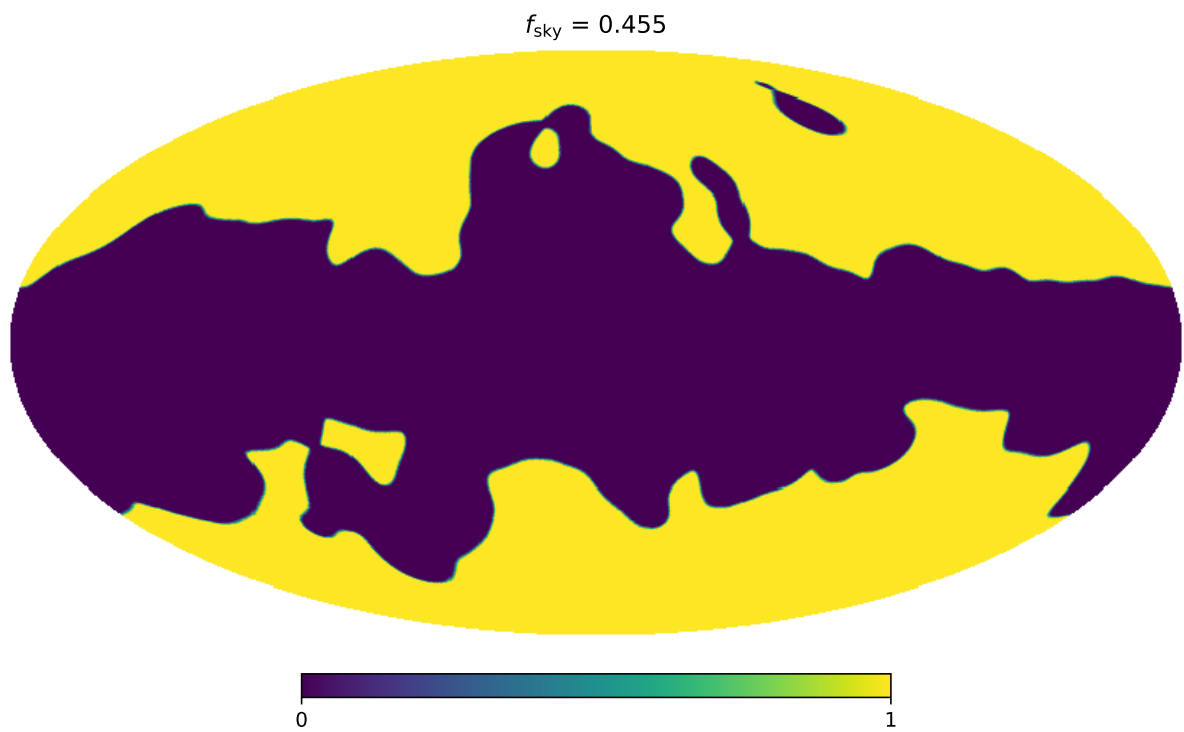


Descoped-PICO r statistics

Aditya Rotti

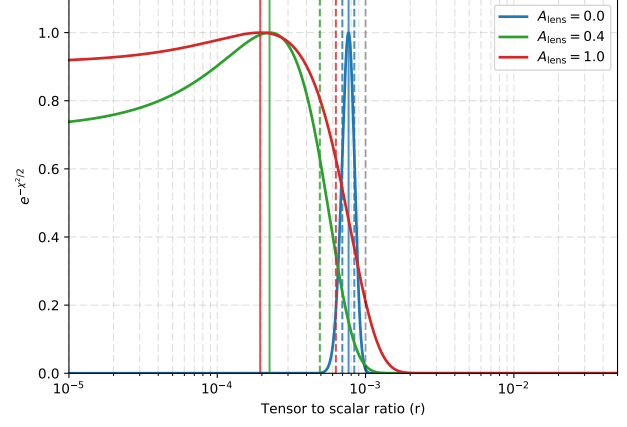
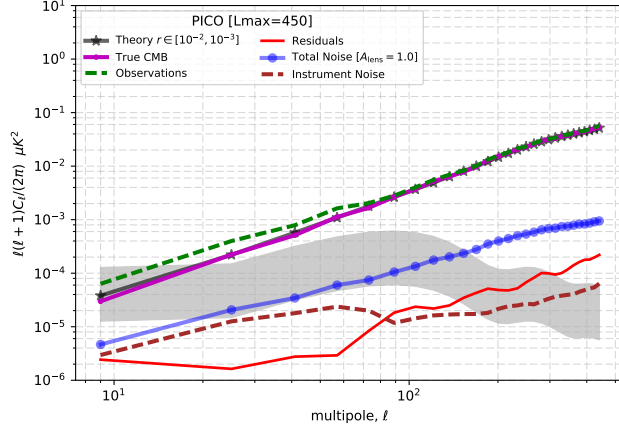
Case	Moments	Parameters
cMILC00	I_{CMB}	1
cMILC01	$I_{\text{CMB}} ; I_{\text{sync}}$	2
cMILC02	$I_{\text{CMB}} ; I_{\text{dust}}$	2
cMILC03	$I_{\text{CMB}} ; I_{\text{sync}} ; I_{\text{dust}}$	3
cMILC04	$I_{\text{CMB}} ; I_{\text{dust}} ; \frac{dI_{\text{dust}}}{d\beta}$	3
cMILC05	$I_{\text{CMB}} ; I_{\text{sync}} ; I_{\text{dust}} ; \frac{dI_{\text{sync}}}{d\beta}$	4
cMILC06	$I_{\text{CMB}} ; I_{\text{sync}} ; I_{\text{dust}} ; \frac{dI_{\text{dust}}}{d\beta}$	4
cMILC07	$I_{\text{CMB}} ; I_{\text{sync}} ; I_{\text{dust}} ; \frac{dI_{\text{sync}}}{d\beta} ; \frac{dI_{\text{dust}}}{d\beta}$	5
cMILC08	$I_{\text{CMB}} ; I_{\text{sync}} ; I_{\text{dust}} ; \frac{dI_{\text{sync}}}{d\beta} ; \frac{dI_{\text{dust}}}{d\beta} ; \frac{dI_{\text{dust}}}{dT}$	6

Case	Alens	r_{bias}	σ_r	r_{95}	SNR
cMILC00	0.0	0.00077	0.00007	NaN	10.78413
	0.4	0.00023	0.00027	0.00077	0.84581
	1.0	0.00019	0.00044	0.00110	0.44706
cMILC01	0.0	0.00051	0.00007	NaN	7.52888
	0.4	0.00021	0.00027	0.00075	0.77441
	1.0	0.00018	0.00044	0.00108	0.41311
cMILC02	0.0	0.00055	0.00007	NaN	7.79152
	0.4	0.00019	0.00027	0.00075	0.72261
	1.0	0.00018	0.00044	0.00108	0.40673
cMILC03	0.0	0.00038	0.00007	NaN	5.45945
	0.4	0.00018	0.00027	0.00073	0.66256
	1.0	0.00017	0.00044	0.00107	0.38257
cMILC04	0.0	0.00052	0.00011	NaN	4.97458
	0.4	0.00028	0.00029	0.00089	0.96753
	1.0	0.00027	0.00046	0.00123	0.57242
cMILC05	0.0	0.00047	0.00013	NaN	3.49992
	0.4	0.00023	0.00029	0.00083	0.78293
	1.0	0.00020	0.00045	0.00114	0.44429
cMILC06	0.0	0.00040	0.00011	NaN	3.81877
	0.4	0.00026	0.00029	0.00087	0.90576
	1.0	0.00026	0.00046	0.00122	0.55727
cMILC07	0.0	0.00048	0.00018	NaN	2.66747
	0.4	0.00032	0.00032	0.00099	0.98320
	1.0	0.00029	0.00049	0.00130	0.60481
cMILC08	0.0	0.00033	0.00027	0.00090	1.19954
	0.4	0.00037	0.00038	0.00115	0.97306
	1.0	0.00039	0.00052	0.00148	0.74745

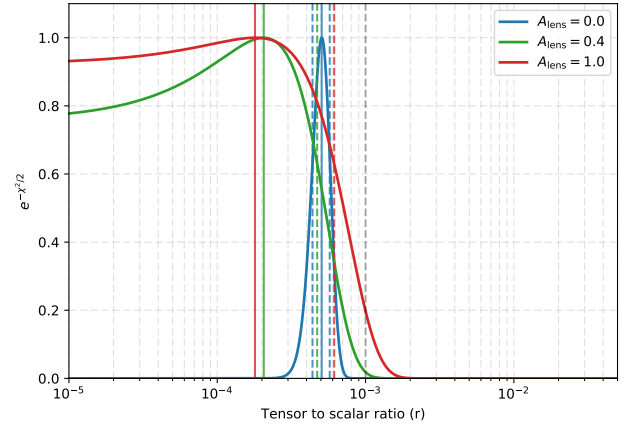
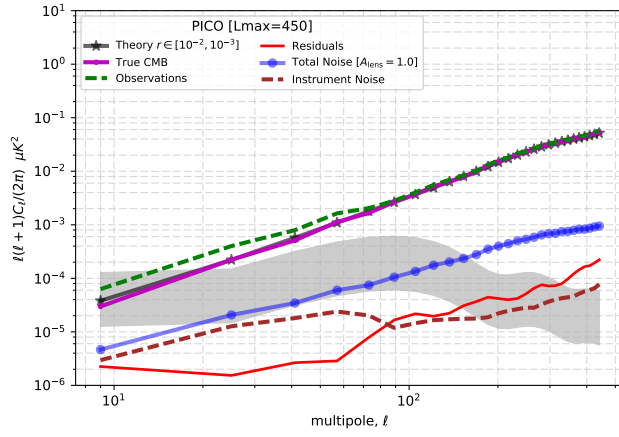


- 1 Mask
- 2 Posterior plots

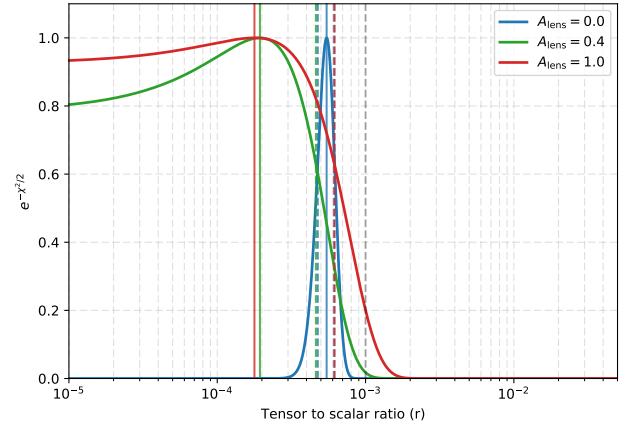
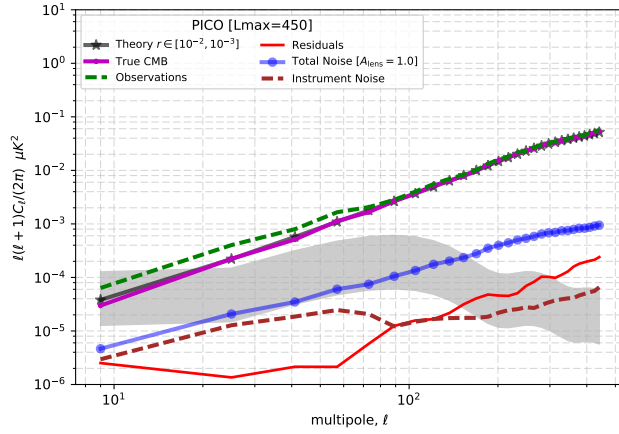
cMILC00 : l_{CMB}



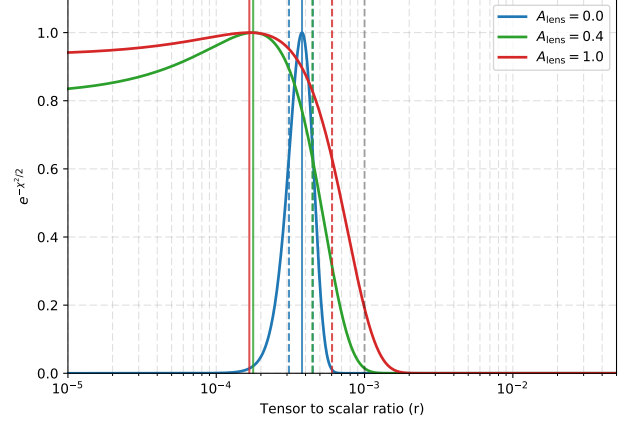
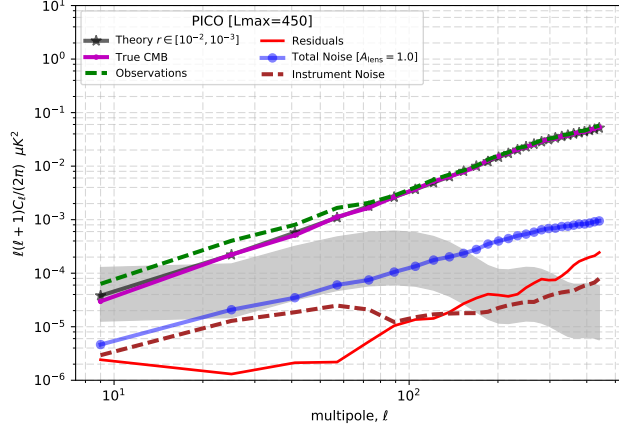
cMILC01 : $l_{\text{CMB}} ; l_{\text{sync}}$



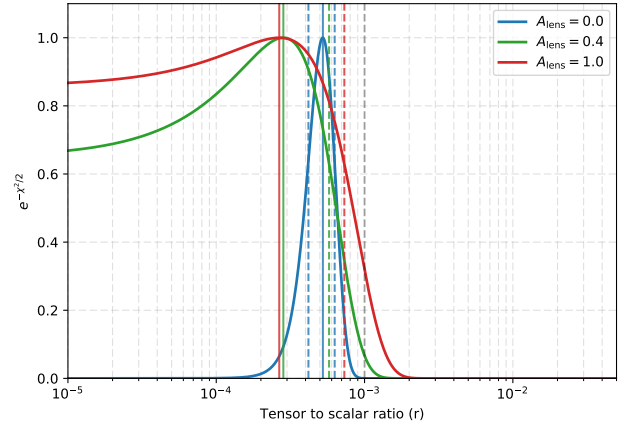
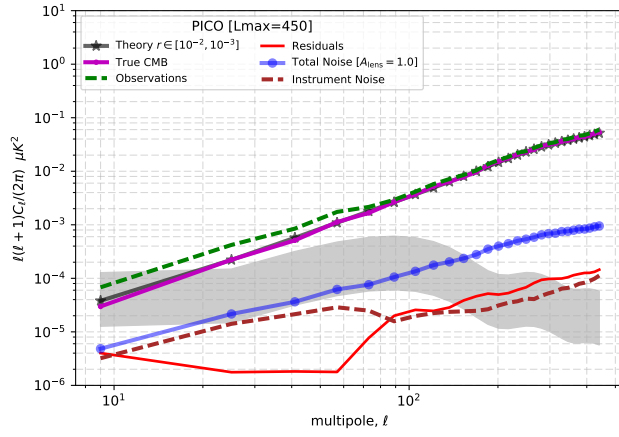
cMILC02 : $l_{\text{CMB}} ; l_{\text{dust}}$



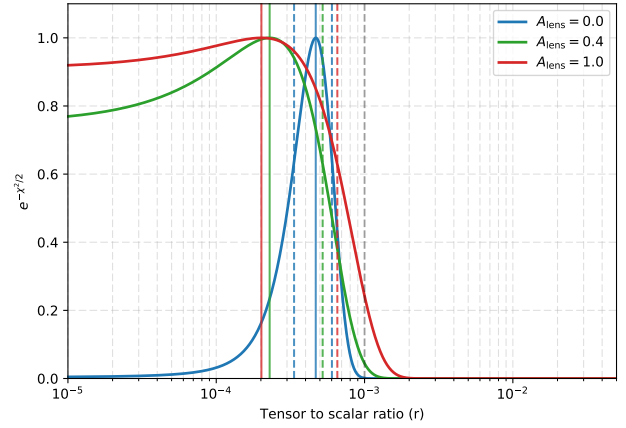
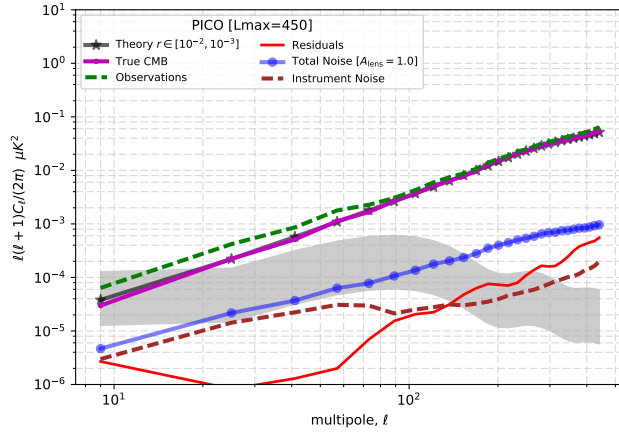
cMILC03 : l_{CMB} ; l_{sync} ; l_{dust}



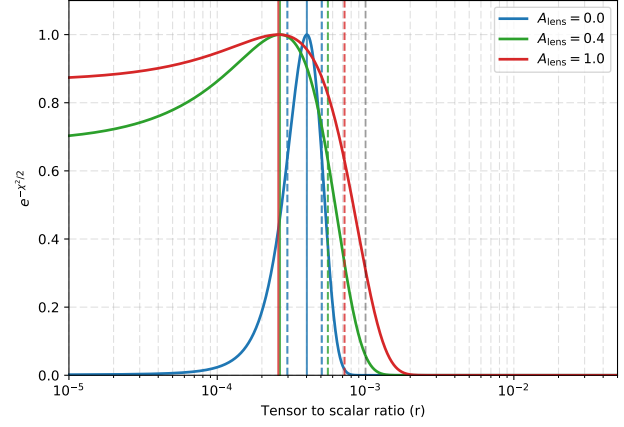
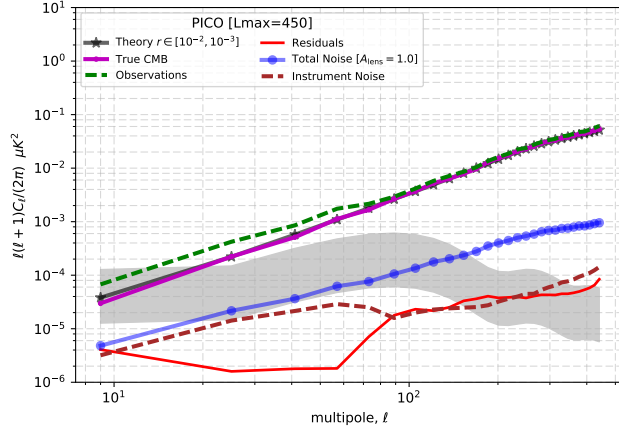
cMILC04 : l_{CMB} ; l_{dust} ; $\frac{dl_{\text{dust}}}{dB}$



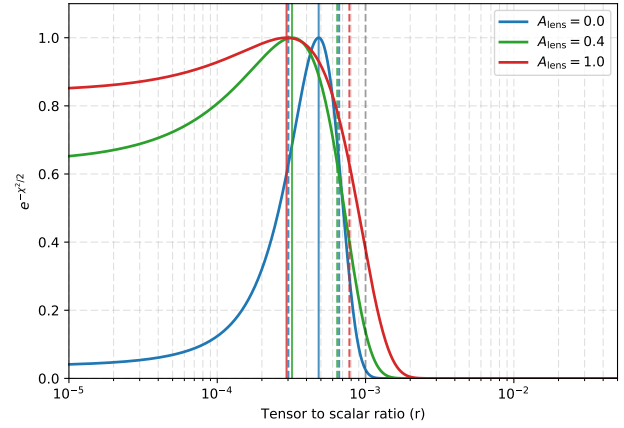
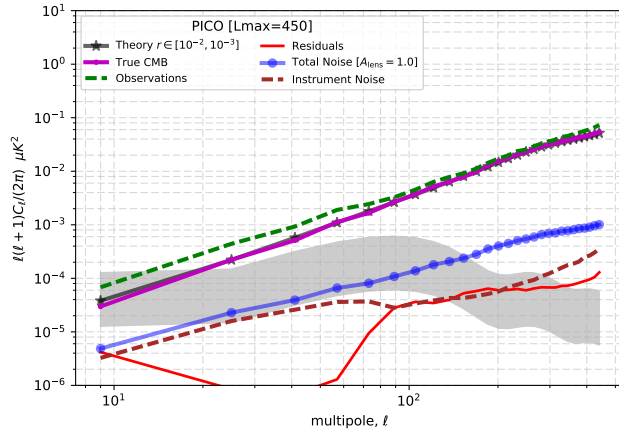
cMILC05 : l_{CMB} ; l_{sync} ; l_{dust} ; $\frac{dl_{\text{sync}}}{dB}$



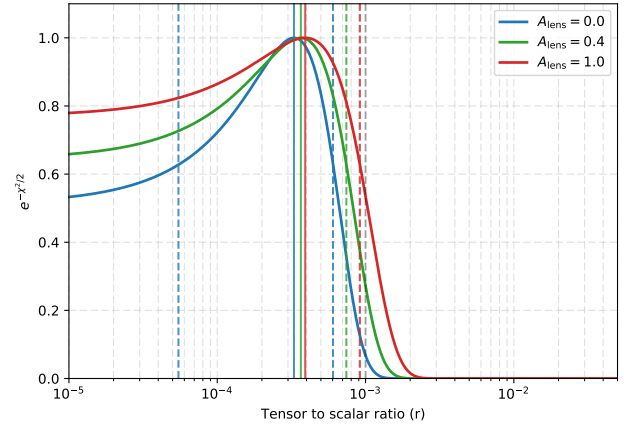
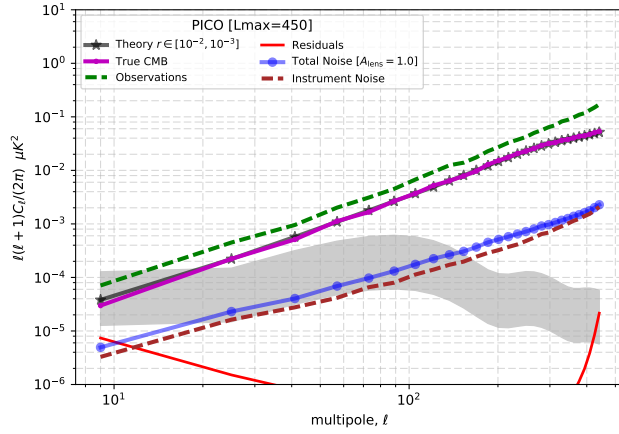
cMILC06 : l_{CMB} ; l_{sync} ; l_{dust} ; $\frac{dl_{\text{sync}}}{d\beta}$

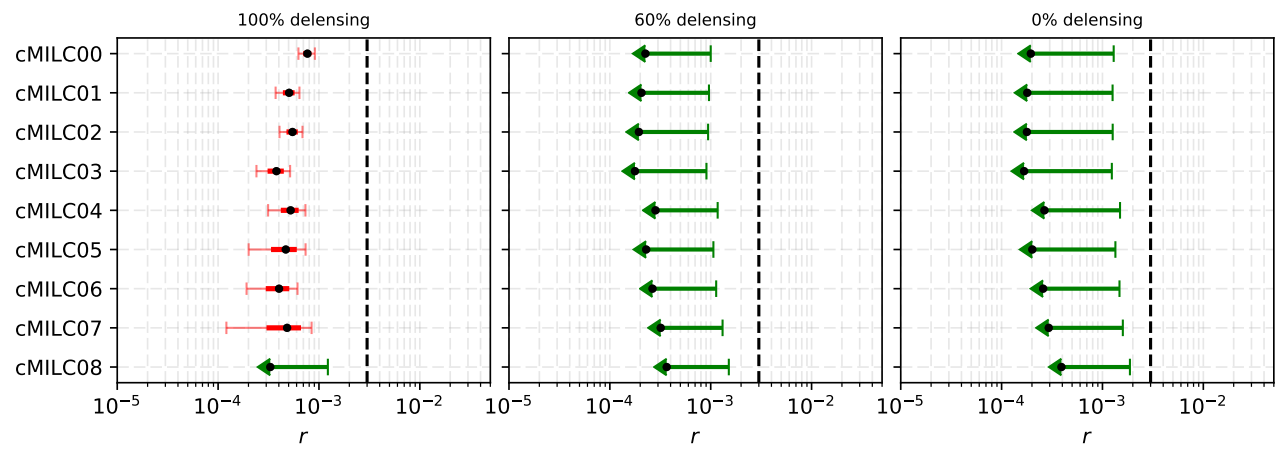


cMILC07 : l_{CMB} ; l_{sync} ; l_{dust} ; $\frac{dl_{\text{sync}}}{d\beta}$; $\frac{dl_{\text{dust}}}{d\beta}$



cMILC08 : l_{CMB} ; l_{sync} ; l_{dust} ; $\frac{dl_{\text{sync}}}{d\beta}$; $\frac{dl_{\text{dust}}}{d\beta}$; $\frac{dl_{\text{dust}}}{d\tau}$





3 r constraints